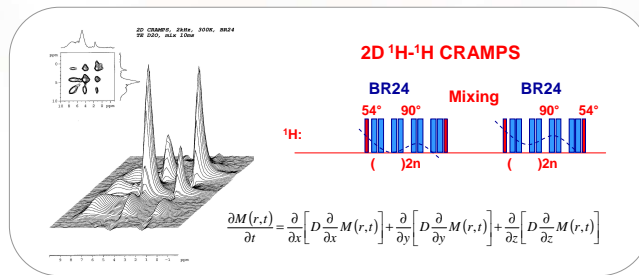


2D NMR spektroskopie v pevné fázi - spinová difuze a separace lokálních polí



Objev více-rozměrné NMR spektroskopie (1971)

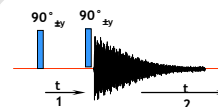
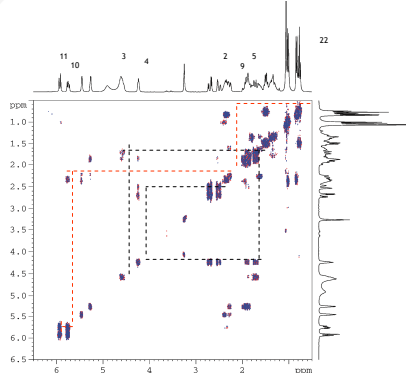
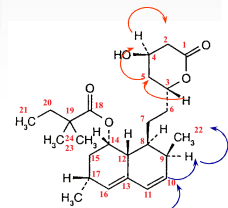


Jean Luis Charles Jeener
*1931

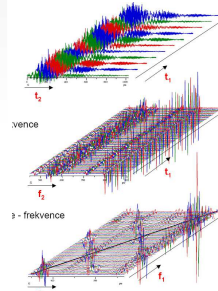
Přenos magnetizace přes vazebné elektrony (konektivita řetězce)

Přednáška na letní škole v Basko Polje, Jugoslávie, 1971
Dvoudimenzionální NMR, COSY

Aue W.P., Bartholdi E., Ernst R.R.
2D Spectroscopy. Application to NMR, *J. Chem. Phys.* (1976); 64: 229.



2D COSY NMR

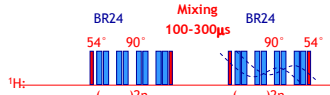


2D korelační NMR v pevné fázi - 1985

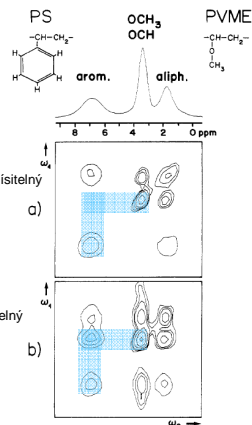
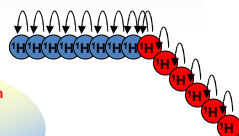
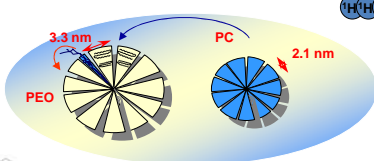
Morfologie polymerních směsí

Caravatti P., Neuschwander P., Ernst R.R.
 Characterization of Heterogeneous Polymer Blends by 2D ¹H Spin Diffusion Spectroscopy,
Macromolecules. (1985); 18: 119.

2D ¹H MAS NMR pulse sequence

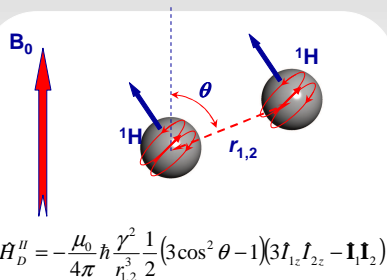


Štafetový přenos polarizace
 Korelace ¹H-¹H chemických posunů

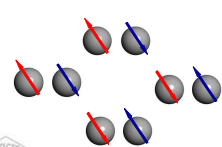
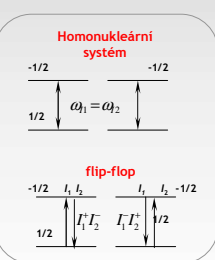
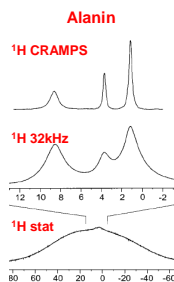


Joint Laboratory of Solid-State NMR
 IMC AS CZ and JHPC AS CZ

Dipolární interakce v homonukleárním systému



Flip-flop přechody



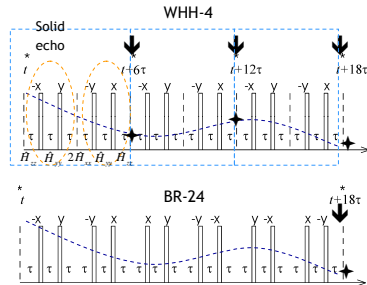
$$\mathbf{I}_1 \mathbf{I}_2 = (I_{1x} I_{2x} + I_{1y} I_{2y} + I_{1z} I_{2z})$$

$$I^+ = I_x + iI_y; I^- = I_x - iI_y$$

$$\hat{H}_D'' = -\frac{\mu_0}{4\pi} \hbar \frac{\gamma^2}{r_{1,2}^3} \frac{1}{2} (3 \cos^2 \theta - 1) (2I_{1z} I_{2z} - 1/2 (I_1^+ I_2^- + I_1^- I_2^+))$$

Joint Laboratory of Solid-State NMR
 IMC AS CZ and JHPC AS CZ

Multipulsní homodekaplink - 1968



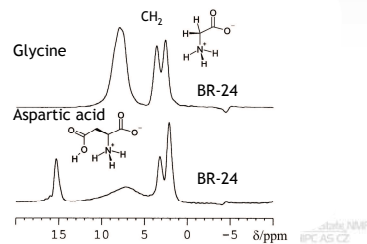
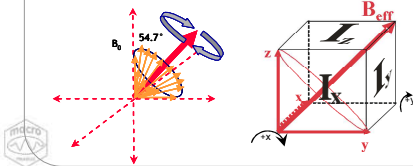
$$\hat{H}_D^H = \hat{H}_{xx} + \hat{H}_{yy} + \hat{H}_{zz}$$

$$\left. \begin{aligned} \hat{H}_{xx} &= \dots (3I_{1x}I_{2x} - \mathbf{I}_1 \cdot \mathbf{I}_2) \\ \hat{H}_{yy} &= \dots (3I_{1y}I_{2y} - \mathbf{I}_1 \cdot \mathbf{I}_2) \\ \hat{H}_{zz} &= \dots (3I_{1z}I_{2z} - \mathbf{I}_1 \cdot \mathbf{I}_2) \end{aligned} \right\} = 0$$

$$\begin{aligned} \hat{H}_{CS} &\approx I_z \\ \hat{H}_{CS} &\approx (I_x + I_y + I_z)/3 \end{aligned}$$

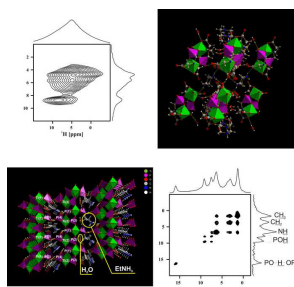
Efektivní precese pod magickým úhlem

"Magická krychle"



Kontinuální homodekaplink

FSLG dekaplink

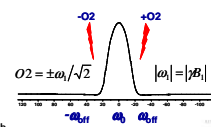
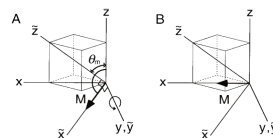


Mimorezonanční podmínka $\Delta LG(O2) = \omega_1/\sqrt{2}$

Doba trvání jednoho pulsu $\tau = \left(\frac{2\pi}{\omega_1}\right)\sqrt{\frac{2}{3}}$

Pak následuje změna fáze a offsetu $\Delta LG(O2) = -\omega_1/\sqrt{2}$

τ odpovídá 2π rotaci kolem efektivního pole.



van Rossum BJ.; Foerster H.; De Groot HJM.
High-Field and High-Speed CP-MAS ^{13}C NMR Heteronuclear Dipolar-Correlation Spectroscopy of Solids with Frequency-Switched Lee-Goldburg Homonuclear Decoupling. *J. Magn. Reson.* 124, 516, (1997).



Kontinuální homodekaplink

Fázově modulovaný Lee-Goldburgův experiment

Fázová modulace

$$\phi(t) = \omega_{PMLG} t$$

$$|\omega_{PMLG}| = \omega_1 / \sqrt{2}$$

Doba trvání LG cyklu

$$t_{LG} = \sqrt{(2/3)} (2\pi / \omega_1)$$

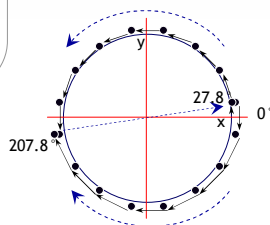
Celková fázová změna během jednoho LG cyklu

$$\alpha_{LG} = |\omega_{PMLG}| t_{LG} = 207.8^\circ$$

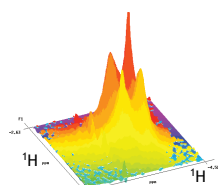
„On-resonance“ experiment



Trajektorie rf pole během cyklu PMLG-9



¹H-¹H PMLG w-PMLG

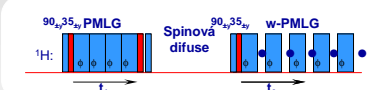
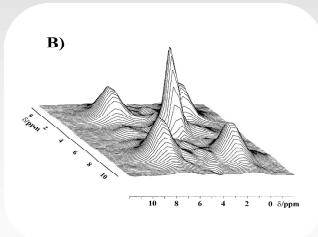


Joint Laboratory of Solid-State NMR
IMC AS CZ and JHPC AS CZ



¹H-¹H Spinová výměna (difuze)

Výběr a přenos magnetizace



Rychlost spinové výměny: $\frac{\partial M(r,t)}{\partial t} = \frac{\partial}{\partial x} \left[D \frac{\partial}{\partial x} M(r,t) \right] + \frac{\partial}{\partial y} \left[D \frac{\partial}{\partial y} M(r,t) \right] + \frac{\partial}{\partial z} \left[D \frac{\partial}{\partial z} M(r,t) \right]$

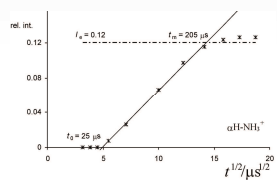
Velikost domény dispergované složky A :

$$d_A = 2 \frac{\epsilon}{f_B} \left(\frac{1}{\pi} D t_m^s \right)^{1/2}$$

Stanovení spin-difusního koeficientu z pološířky:

$$D_{rig} = \frac{1}{12} \sqrt{\frac{\pi}{2 \ln 2}} \langle r^2 \rangle \Delta v_{1/2} \quad D_{mob} = \frac{1}{6} \langle r^2 \rangle [\alpha \Delta v_{1/2}]^{1/2}$$

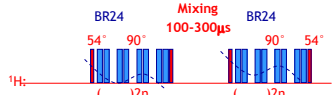
$$D_{mob} = 8.2 \times 10^{-6} T_2^{-1} + 0.007 \quad D_{mob} = 4.4 \times 10^{-5} T_2^{-1} + 0.26$$



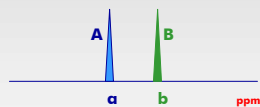
Joint Laboratory of Solid-State NMR
IMC AS CZ and JHPC AS CZ

2D spin-difuzní ^1H - ^1H NMR experimenty

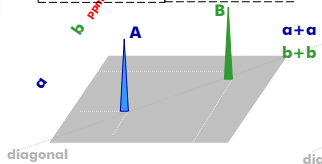
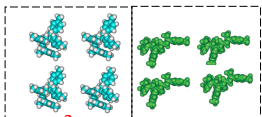
2D ^1H MAS NMR pulse sequence



Obecný dvousložkový systém v 1D ^1H NMR spektru

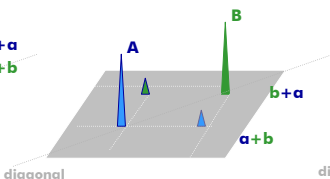


Fázově separované domény A...B



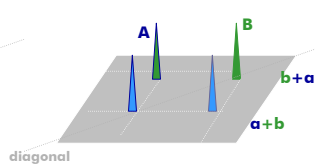
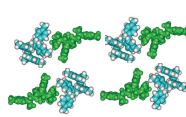
Only diagonal signals are detected - no polarization transfer occurs

Obecný dvousložkový systém ve 2D spektru



Weak off-diagonal signals are detected - small portion of polarization was transferred from A to B

Molekulární komplex A-B



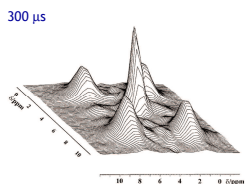
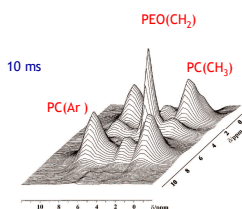
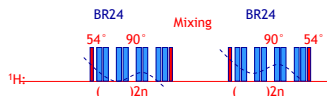
Strong off-diagonal signals are detected - polarization was completely transferred from A to B



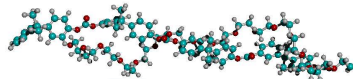
ss NMR - 2D spin-difuzní experimenty

Polymer blend
Polycarbonate - Polyethyleneoxide (PC-PEO)

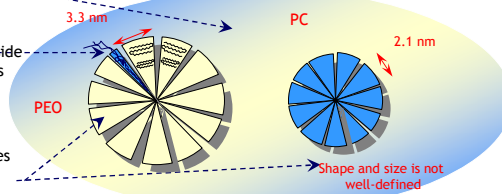
2D ^1H MAS NMR pulse sequence



Amorphous phase PEO-PC intimately mixed



Amorphous PC inside PEO spherulites



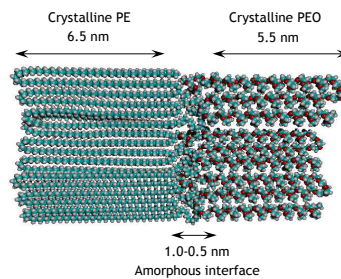
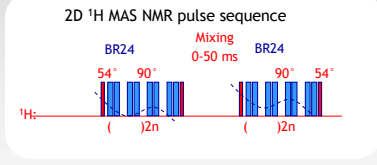
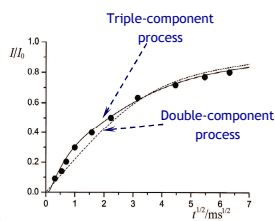
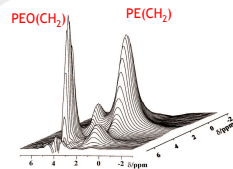
Crystallites



Brus J. et al., Order and mobility in polycarbonate-poly(ethylene oxide) blends, *Macromolecules* (2000), 33: 6448.

ss NMR - 2D spin-difuzní experimenty

Blokový kopolymer
Polyethyleneoxide-Polyethylene
PEO-PE

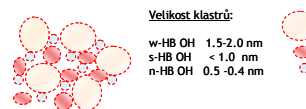
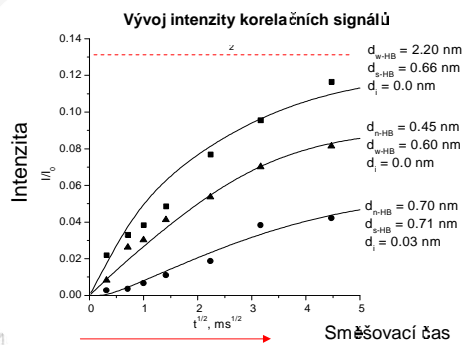
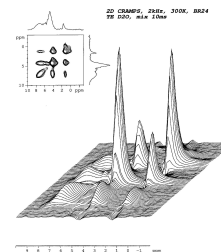
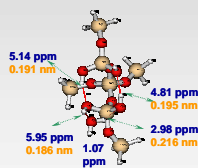


Brus J. et al., Potential and limitations of 2D H-1-H-1 spin-exchange CRAMPS experiments to characterize structures of organic solids, *MONATSHFÜR CHEMIE* (2002); 133: 1587.

Joint Laboratory of Solid-State NMR
IMC AS CZ and JHPC AS CZ

ss NMR - 2D spin-difuzní experimenty

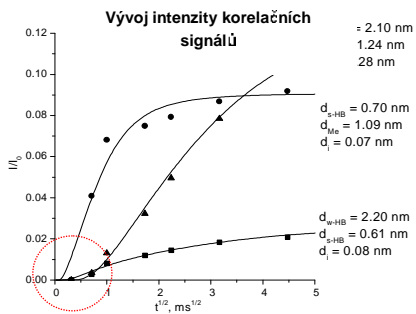
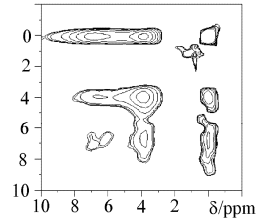
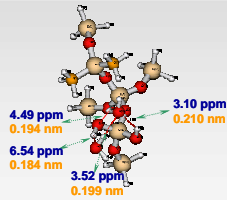
Siloxanová síť



Joint Laboratory of Solid-State NMR
IMC AS CZ and JHPC AS CZ

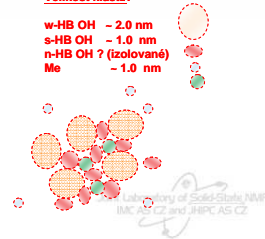
ss NMR - 2D spin-difuzní experimenty

Modifikovaná siloxanová síť

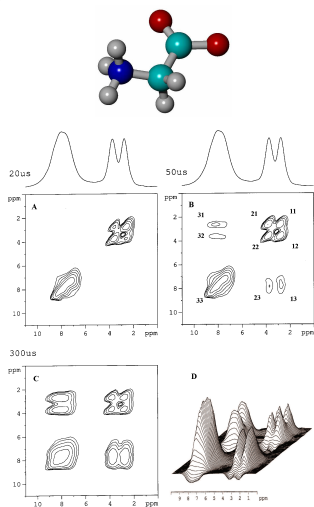


Velikost klastů:

- w-HB OH ~ 2.0 nm
- s-HB OH ~ 1.0 nm
- n-HB OH ? (izolované)
- Me ~ 1.0 nm



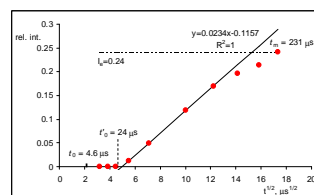
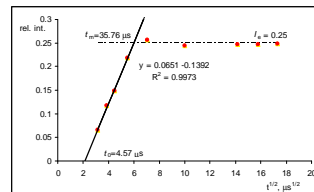
Měření meziatomových vzdáleností



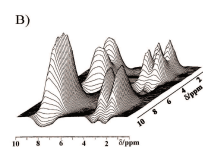
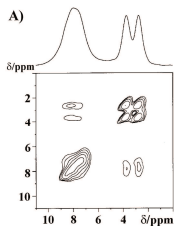
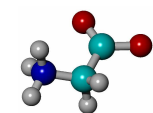
$$\langle r^2 \rangle = 3 D_{\text{eff}} t_m$$

$$r_{12} = 0.178 \text{ nm}$$

$$r_{12} = 0.247 \text{ nm}$$

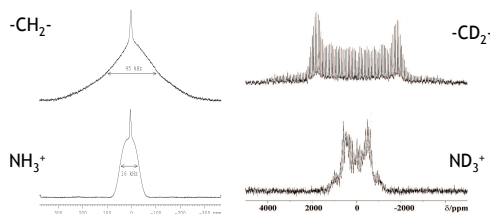


Měření meziatomových vzdáleností



¹H NMR

²H NMR

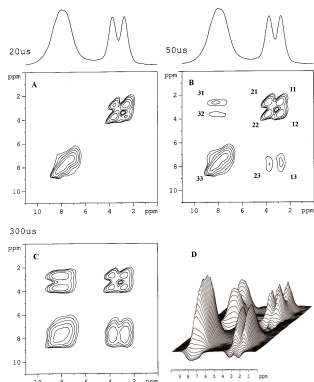
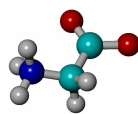


$$\frac{D_{eff}^*}{D_{eff}} \cong \frac{\Delta v_{1/2}(NH_3^+)}{\Delta v_{1/2}(CH_2)} \cong \frac{\delta_Q(NH_3^+)}{\delta_Q(CH_2)} \cong \frac{1}{3}$$

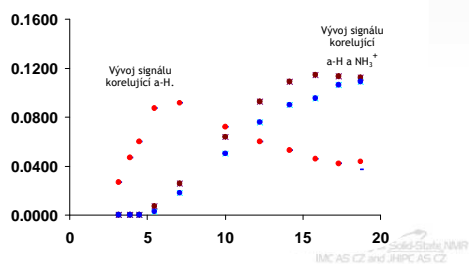
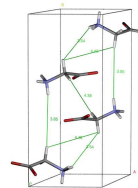
Spinová výměna je ovlivněna segmentálním pohybem, rozsah ovlivnění lze odhadnout z kvadrupolových interakčních konstant.



Měření meziatomových vzdáleností

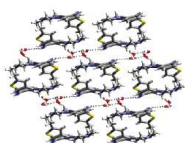
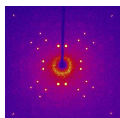


Mezimolekulární vzdálenosti mohou být teoreticky získány z vývoje spinové difuze.



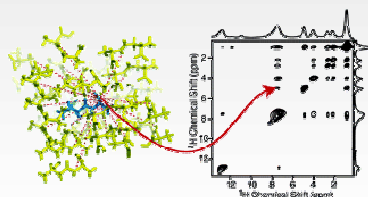
NMR krystalografie - 2006...

XRD



Reutzel-Edens S. et al. *Crystal Growth & Design* 3, 897 (2003)

ss-NMR

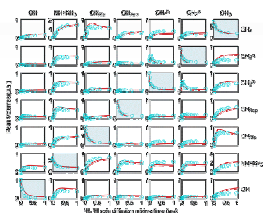
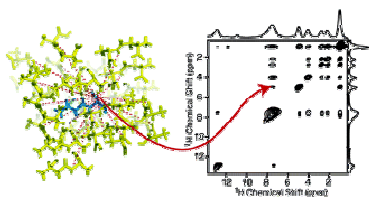


Elena B. et al. *J. Am. Chem. Soc.* (2006); 128, 9555.



Joint Laboratory of Solid-State NMR
IMC AS CZ and JHPC AS CZ

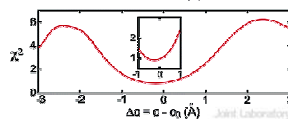
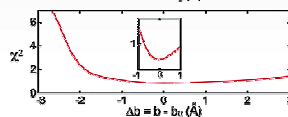
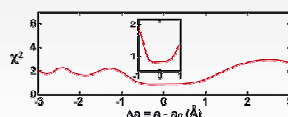
NMR krystalografie - parametry krystalové buňky



$$\frac{dM}{dt} = -\mathbf{K}(\mathbf{M} - \mathbf{M}_0) \quad k_{ij} = \sum_{\lambda} \left(\frac{\mu_{0j} \gamma^2 \hbar}{4\pi} \right)^2 \frac{A}{(r_{ij}^{\lambda})^3} \quad k_{ii} = -\sum_j k_{ij}$$

$$\mathbf{M}(t, \tau_{SD}) = \exp(-\mathbf{K} \tau_{SD}) \mathbf{M}_c(t, 0) \quad \mathbf{P}(\tau_{SD}) = \exp(-\mathbf{K} \tau_{SD}) \mathbf{M}_c^T$$

n ... Functional dependence on internuclear distance

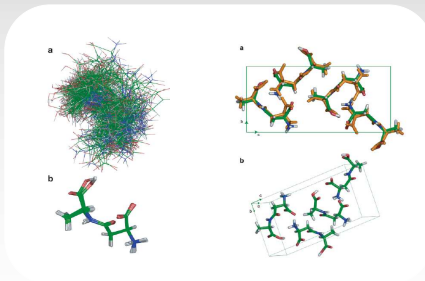


Joint Laboratory of Solid-State NMR
IMC AS CZ and JHPC AS CZ

NMR krystalografie

Elena B. et al.
Solid-state ^1H NMR crystallography, *J. Am. Chem. Soc.* (2005); 127(25), 9140.

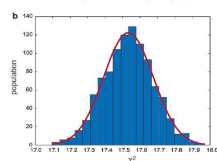
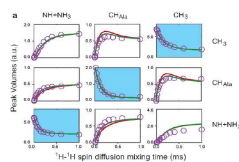
Elena B. et al.
Molecular Structure Determination in Powders by NMR Crystallography from Proton Spin Diffusion, *J. Am. Chem. Soc.* (2006); 128, 9555.



$$\frac{d\mathbf{M}}{dt} = -\mathbf{K}(\mathbf{M} - \mathbf{M}_0) \quad k_{ij} = \sum_k \left(\frac{4\mu_0 \gamma^2 \hbar}{4\pi} \right)^2 \frac{A}{(r_{ij}^k)^3} \quad k_{ii} = -\sum_k k_{ik}$$

$$\mathbf{M}(t, \tau_{SD}) = \exp(-\mathbf{K}\tau_{SD})\mathbf{M}_i(t, 0) \quad \mathbf{P}(\tau_{SD}) = \exp(-\mathbf{K}\tau_{SD})\mathbf{M}_i^e$$

n ... Functional dependence on internuclear distance



$$\chi^2 = \sum \frac{(\text{calc}_i - t_i)^2}{\sigma_i^2}$$



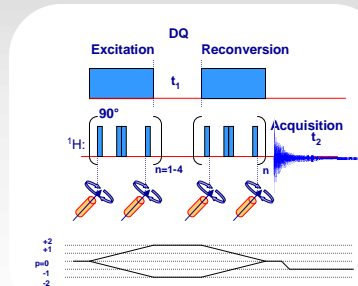
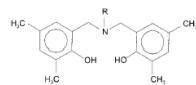
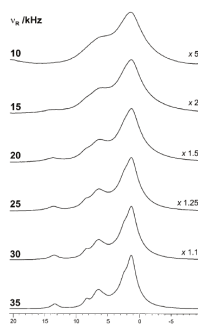
ALNMR
AS CZ

2D dvoukvantové ^1H - ^1H korelační techniky

Steven P. Brown and Hans Wolfgang Spiess.
Advanced Solid-State NMR Methods for the Elucidation of Structure and Dynamics of Molecular, Macromolecular, and Supramolecular Systems, *Chem. Rev.* 2001, 101, 4125-4155



Steven P. Brown
1972



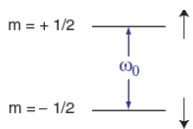
- * Zúžení signálů - pouze rotace vzorku 30 kHz.
- * Teplotně stabilní látka.
- * Řídká ^1H - ^1H interakční síť.
- * Neuplatňuje se spinová difuze.
- * Existence dvou dipolárně interagujících H atomů.
- * Meziatomová vzdálenost nepřesáhne 3-4 Å.



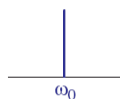
Joint Laboratory of Solid-State NMR
IMC AS CZ and JHPC AS CZ

Jednokvantová vs. dvoukvantová koherence

Izolovaný spin $I = 1/2$

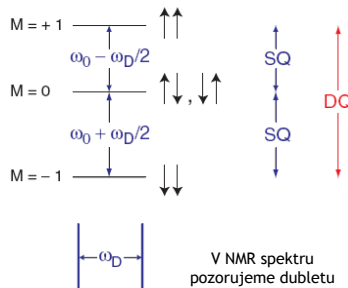


$\Delta m = \pm 1$ Jednokvantová koherence



V NMR spektru pozorujeme singlet

Dipolárně interagující pár spinů $I = 1/2$



V NMR spektru pozorujeme dubletu

Platí i pro spin-spinové interakce



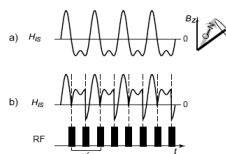
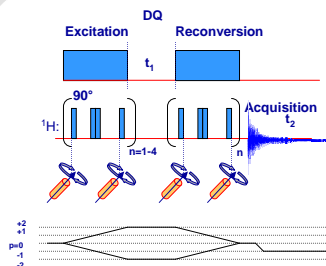
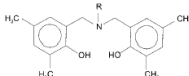
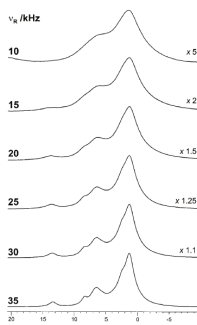
2D dvoukvantové ^1H - ^1H korelační techniky

Steven P. Brown and Hans Wolfgang Spiess. Advanced Solid-State NMR Methods for the Elucidation of Structure and Dynamics of Molecular, Macromolecular, and Supramolecular Systems, *Chem. Rev.* 2001, 101, 4125-4155

Dvoukvantový Hamiltonián

$$\hat{H}_{xx} - \hat{H}_{yy}$$

- * DQC - není přímo sledovatelná - 2D experiment.
- * Rotor-synchronizovaný experiment.
- * Excitace - vývoj - zpětná konverze.
- * S klesající silou dipolárních interakcí - větší počet cyklů.

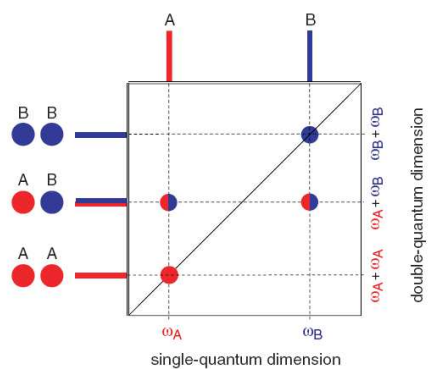


Dvoukvantová koherence

V prvním přiblížení je intenzita signálů druhé mocnině dipolární interakce,

Intenzita signálu je nepřímo úměrná šesté mocnině vzdálenosti

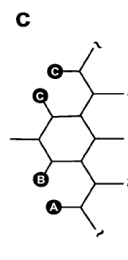
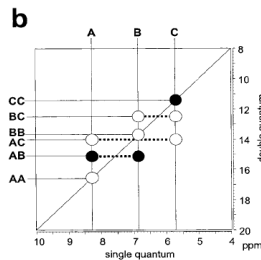
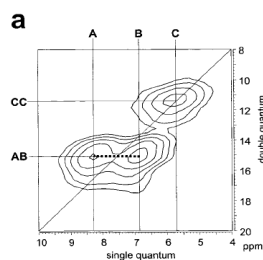
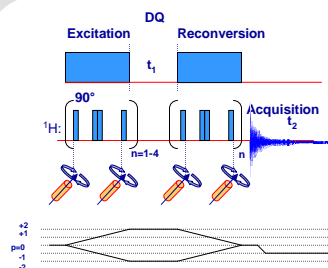
DQC se vyvine pouze tehdy pokud jsou jádra skutečně velmi blízko sebe



Joint Laboratory of Solid State NMR
IMC AS CZ and JNEPC AS CZ

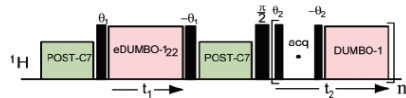
Rotor synchronizovaná 2D DQ MAS spektra

- * Inkrement DQC (t_1) = jedna perioda rotace.
- * Rotační signály jsou zcela potlačeny.
- * Excitace - vývoj - zpětná konverze.
- * S klesající silou dipolárních interakcí - větší počet cyklů.

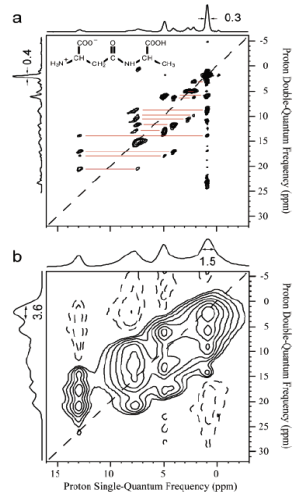


Jak dosáhnout lepšího rozlišení

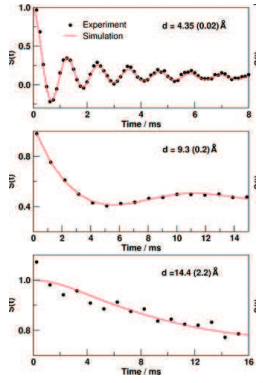
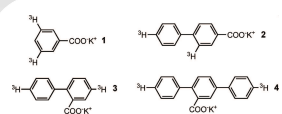
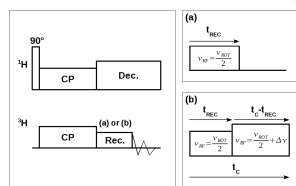
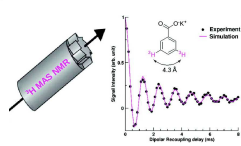
Zavedení homodekaplovacích sekvencí do obou detekčních period



Steven P. Brown, Anne Lesage, Be'ne' dicte Elena, and Lyndon Emsley
 Probing Proton-Proton Proximities in the Solid State: High-Resolution Two-Dimensional ^1H - ^1H Double-Quantum CRAMPS NMR Spectroscopy, *J. Am. Chem. Soc.* 2004, 126, 13230-13231.



2D ^3H - ^3H korelace - dosah až 13 Å

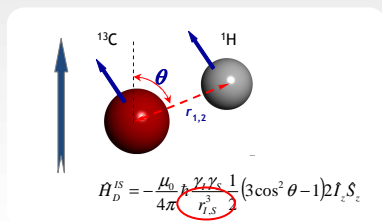


Inst. of Solid State NMR
 CZ and JHPC AS CZ

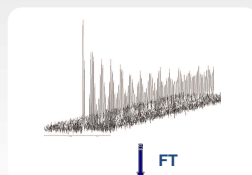
Dipol-dipolové interakce a meziatomová vzdálenost

Dipolární oscilace a Fourierova transformace

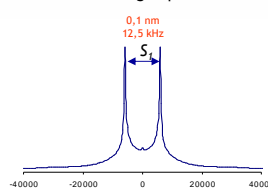
Dipolar oscillation of ^{13}C NMR signal in a typical C-H group



- D - dipolar coupling constant depends on $1/r_{\text{CH}}^3$.
- D - dipolar coupling constant should be constant for all C-H pairs in CH or CH_2 groups as bond length is always ca. 0.11 nm



Dipolar spectrum of C-H group



Scaling of D

$$r_{\text{CH}} = a \left(\frac{S_1}{2\pi} \right)^{-1/3}$$

$$S_1 = \sin\theta_m \frac{D_m}{\sqrt{2}}$$

$$\sin\theta_m = 0.816$$

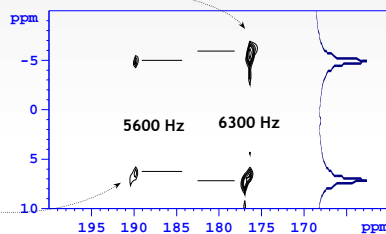
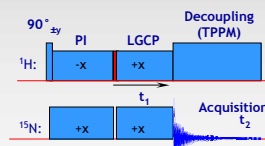
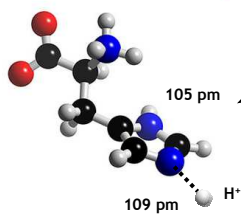
$$\theta_m = 54.7^\circ$$



Joint Laboratory of Solid-State NMR
IMC AS CZ and JHPC AS CZ

Přesné měření N...H vzdálenosti

Histidin.HCl



Nízká citlivost experimentu v přirozeném zastoupení.

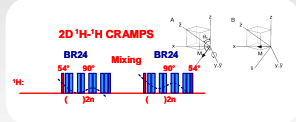
Experimentální čas pro získání 2D ^1H - ^{15}N dipolárního spektra je cca. 2-5 dnů



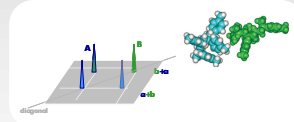
Joint Laboratory of Solid-State NMR
IMC AS CZ and JHPC AS CZ

Souhrn

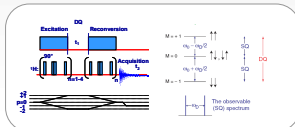
Homodekaplink: BR24, FSLG, PMLG



2D spinová difuze

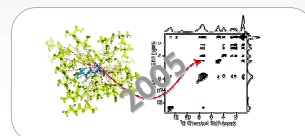


DQ koherence: BABA

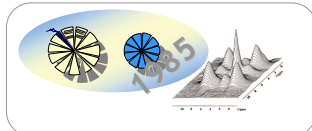


Solid-state NMR
and

NMR krystalografie



Spinová difuze a morfologie polymerů



CRAMPS-DQ/MAS

